

Gain-Loss: Método de Distribuição de Dados para Processamento Distribuído de Multijunções Espaciais

Guilherme Silva Tonon¹, Thiago Borges de Oliveira¹

¹Universidade Federal de Goiás – Regional Jataí (UFG)
Rodovia BR 364 – KM 195 – 3800 – Jataí – GO – Brasil

gs.tonon90@hotmail.com, thborges@ufg.br

Abstract. *Data distribution is a challenge in the distributed execution of multiway spatial join queries. An efficient execution requires both a balanced data distribution as well as a distribution with spatial data colocalization. In this paper, we compare two methods of spatial data distribution and propose a new one called Gain-Loss, based in the R^0 -tree algorithms. Our evaluation shows that Gain-Loss has a reduced area overlay between servers in all tested scenarios and also a competitive object balancing. This result indicates a more efficient execution of queries, with a reduction in the use of computational resources, mainly network usage and processing time.*

Resumo. *Um dos desafios do processamento distribuído da multijunção espacial é a distribuição dos dados de forma homogênea e colocalizada pelo cluster; de forma a obter uma execução eficiente da consulta. Neste artigo comparamos dois métodos de distribuição de dados espaciais e propomos um novo chamado Gain-Loss, baseado nos algoritmos da árvore R^0 . Nossos experimentos mostraram que o Gain-Loss apresenta uma significativa redução da sobreposição de área entre servidores em todos os cenários, e um balanceamento de carga competitivo comparado aos demais métodos testados. Este resultado indica uma execução mais eficiente das consultas, com redução no uso de recursos computacionais, principalmente uso de rede e tempo de processamento.*

1. Introdução

O processamento de dados espaciais vem recentemente usando *clusters* de computadores para a redução do tempo de processamento das consultas espaciais, principalmente considerando grandes bases de dados [Ramirez and de Souza 2001, de Oliveira et al. 2017] e consultas de multijunção espacial. Tal consulta relaciona duas ou mais bases de dados [Mamoulis and Papadias 2001] e pode ser usada em várias aplicações cotidianas, incluindo geografia (p. ex., encontrar espécies de animais em áreas de preservação ambiental que foram atingidas por queimadas), agricultura (p. ex., avaliar a produtividade de cultivos considerando o rendimento da colheita, o uso de adubos e defensivos, a ocorrência de pragas no cultivo, dentre outros), e diagnóstico assistido por computador (p. ex., analisar imagens topológicas do cérebro para verificar se um câncer está regredindo).

Um fator de grande relevância nas consultas de multijunção espacial é a distribuição dos dados que influencia no tempo de processamento e na utilização de rede devido ao alinhamento de dados, necessário à correta avaliação do predicado da junção espacial. Por um lado, quer-se que a distribuição proporcione uma execução de consulta

balanceada, na qual todos os servidores sejam utilizados de maneira uniforme. Por outro lado, deseja-se também diminuir a necessidade de uso de comunicação entre os servidores. Estes dois aspectos foram avaliados em trabalhos recentes e evidenciou-se uma correlação inversa, ou seja, a colocalização diminui o uso de rede mas interfere negativamente no balanceamento da execução da consulta e vice-versa [Patel and DeWitt 2000, Oliveira et al. 2013, de Oliveira et al. 2017].

Duas técnicas principais são encontradas na literatura em relação à distribuição dos dados. A primeira, baseando-se em colocalização [Oliveira et al. 2013], que distribui os dados considerando a sua posição no espaço, e a segunda, baseando-se na distribuição uniforme do volume dos dados [de Oliveira 2017]. Contudo, estas duas propostas foram testadas em tipos de particionamento distintos, sendo que o particionamento tido como o mais eficiente [Patel and DeWitt 2000], chamado de disjunto, não foi avaliado juntamente com a técnica de distribuição de dados baseada em colocalização.

Neste artigo, apresentamos um estudo inicial com a avaliação do impacto da distribuição de dados no processamento de multijunções espaciais usando particionamento disjunto. Três técnicas principais de distribuição foram avaliadas: a técnica Round-Robin (RR) [de Oliveira 2017], que não considera a localização durante distribuição dos dados; a técnica Proximity-Area (PA) [Oliveira et al. 2013] que considera colocalização dos objetos; e uma nova técnica baseada no algoritmo de escolha da sub-árvore da R^0 [Xia and Zhang 2005], chamada *Gain-Loss*.

Nossos resultados preliminares, que avaliaram a distribuição resultante dos três tipos de particionamento, indicam que o método *Gain-Loss* é superior aos demais observando a redução da sobreposição de área entre os servidores, e competitivo em relação à distribuição uniforme de objetos. Resta-nos avaliar o impacto fim-a-fim, ou seja, o quanto a colocalização dos dados interfere de fato no desempenho do algoritmo de escalonamento dos fragmentos de consultas distribuídas [de Oliveira 2017] e no tempo de execução e balanceamento da execução.

2. Processamento Distribuído de Multijunções Espaciais

O uso de *cluster* de computadores possibilita o processamento de grandes bases de dados e também de consultas de multijunção envolvendo várias bases [Mamoulis and Papadias 2001]. No entanto, requer que as mesmas sejam divididas ou particionadas e posteriormente distribuídas uniformemente pelo *cluster* [de Oliveira 2017]. Dos métodos de particionamento existentes, destaca-se o método de particionamento disjunto, que proporciona uma redução da comunicação de rede durante as etapas de refinamento e filtragem da junção [Patel and DeWitt 2000]. Nele, a extensão espacial dos dados é dividida em fragmentos disjuntos, chamados de células, cada uma agrupando os objetos que estão contidos dentro de seus limites e replicando objetos que se intersectam com mais de uma célula.

Em geral, define-se a quantidade de partições de forma a permitir uma divisão uniforme da carga de trabalho pelo *cluster* quando da execução das consultas. No entanto, um número muito grande de partições pode provocar o aumento da replicação de objetos que intersectam os limites das células. Ao particionar uma base de dados, portanto, tenta-se manter um equilíbrio entre as duas situações [de Oliveira 2017].

A distribuição das partições, por sua vez, faz com que a carga de trabalho seja

similar em cada um dos servidores, evitando uma execução desbalanceada e reduzindo o tempo total de processamento da junção espacial. Se após a distribuição dos dados, objetos que se relacionam observando o predicado da consulta (interseção ou proximidade, por exemplo) estiverem em servidores diferentes, uma cópia de um dos objetos deve ser enviada para ser processada no local onde está o outro objeto relacionado. O envio é feito através da rede de comunicação do *cluster* e, em geral, devido a rede limitar a velocidade do processamento, deseja-se evitar esta comunicação organizando melhor os dados.

3. Métodos de Distribuição das Partições

3.1. Round-Robin (RR)

A técnica mais básica de distribuição de partições, chamada de *Round-Robin* (RR), é baseada na distribuição alternada de partições de acordo com uma lista circular de servidores do *cluster*. Este tipo de alocação faz com que os servidores recebam praticamente a mesma quantidade de partições. Apesar desta técnica provocar um aumento da comunicação no *cluster*, o efeito no balanceamento é positivo.

3.2. Proximity Area (PA)

O método de distribuição *Proximity Area* [Oliveira et al. 2013] (PA) busca colocalizar objetos próximos espacialmente para reduzir a comunicação na rede. O algoritmo possui um parâmetro que define o nível de balanceamento, $0 \leq k < 1$, que permite alterar a intensidade com que os objetos são atraídos para um determinado servidor do *cluster*. Quando $k = 0.1$ o método PA força uma quantidade de objetos mais uniforme entre os servidores. O contrário acontece com $k = 0.9$, permitindo quantidades não-uniformes mas respeitando a colocalização.

A característica principal da técnica PA é a redução da comunicação. Quando usada juntamente com um fator k adequado, apresenta desempenho mais eficiente do que a técnica RR, quando avaliadas em particionamento não-disjunto. Experimentos mostraram que a quantidade de mensagens trocadas na rede é reduzida, o que conseqüentemente causa a diminuição do tempo de resposta da junção espacial [Oliveira et al. 2013]. No entanto, observou-se também que um nível muito alto de colocalização impacta de forma negativa no balanceamento da execução das consultas.

3.3. Gain-Loss: Distribuição de dados Baseada nos Algoritmos da R^0

A árvore R [Guttman 1984], um tipo de árvore B específico para dados multidimensionais, possui métodos heurísticos de organização dos objetos que reduzem a sobreposição dos limites geográficos dos *buckets* dos níveis superiores da estrutura (nós diretórios). Uma árvore R, assim como a B, possui um parâmetro chamado *fanout*, que define a quantidade máxima de objetos ou diretórios em cada nó. Um aprimoramento relevante da árvore R é a R^0 -tree [Xia and Zhang 2005].

Nossa proposta baseia-se no algoritmo de escolha de subárvore da R^0 (aqui chamado de CHOOSE-MINOR-LOSS). Este algoritmo escolhe a sub-árvore para inserir um novo objeto observando o ganho ou perda de se inserir o mesmo em cada nó diretório da árvore, de acordo com a definição em [Xia and Zhang 2005]. Quando a sub-árvore escolhida ultrapassa o *fanout*, emprega-se um algoritmo de divisão do nó (SPLIT-RTREE-NODE), que procura uma boa divisão do nó atual, considerando também um limite mínimo de itens em cada nó para manter a estrutura de dados balanceada.

A técnica é apresentada no Algoritmo 1. Sejam O o conjunto de objetos espaciais a serem distribuídos e $servers$ um vetor com entradas que representam o conjunto de servidores do *cluster*. Primeiro, na linha 1, define-se um *fanout* de forma a forçar o algoritmo original da R^0 a criar o número necessário de servidores e define-se o número inicial de servidores em uso (linha 2). Na sequência, itera-se pelo conjunto de objetos O (linha 3) escolhendo o servidor s_i mais adequado para o objeto o , conforme o algoritmo CHOOSE-MINOR-LOSS (linha 4), adiciona-se o objeto no servidor escolhido (linha 5), aumenta-se o MBR (Mínimo Retângulo Envolvente, ou *Minimum Bounding Rectangle*) do servidor para incluir o objeto o (linha 6). Caso o número de objetos no servidor s_i seja ultrapassado (linha 7) e o número de servidores usados ainda seja menor que o total disponível, divide-se o nó chamando o método SPLIT-RTREE-NODE (linha 8) e aumenta-se a quantidade de servidores usados (linha 9).

Algoritmo 1 Algoritmo GAIN-LOSS para distribuição de objetos espaciais.

GAIN-LOSS($O, servers$)

```

1   $M = \left\lceil \frac{|O|}{|servers|-1} \right\rceil$ 
2   $count = 1$ 
3  for  $o \in O$ 
4       $s_i = \text{CHOOSE-MINOR-LOSS}(servers, o)$ 
5       $servers[s_i].objs += o$ 
6       $servers[s_i].mbr = servers[s_i].mbr \cup o.mbr$ 
7      if ( $|servers[s_i].objs| > M$ )&&(count <  $|servers|$ )
8          SPLIT-RTREE-NODE( $servers, s_i$ )
9          count += 1
```

4. Avaliação Comparativa dos Métodos

Para a execução dos experimentos, construímos três bases de dados sintéticas em um espaço com dimensões 100x100: *i*) uma base uniforme, U , com 500 retângulos distribuídos uniformemente; *ii*) uma base não-uniforme (*skewed*), S , com 500 retângulos distribuídos usando a lei de Zipf [Zipf 1949], com $p = 2$; e *iii*) uma base combinada, C , com 250 objetos gerados conforme a base S e outros 250 gerados conforme a base C . As dimensões dos retângulos gerados variaram de 1 a 10, seguindo a distribuição usada para cada base. Três tamanhos de *cluster* foram considerados: 4, 8 e 16 servidores. Os três métodos de distribuição foram considerados: *Round-Robin* (RR); *Proximity Area* (PA) com três valores de k : 0.1, 0.5 e 0.9; e o método *Gain-Loss* (GL).

Para avaliar a qualidade da distribuição dos objetos, mensuramos a sobreposição entre as regiões de cada servidor, dada pela intersecção entre a região de cada servidor para todos os pares distintos de servidores, conforme a Equação 1, sendo s a quantidade de servidores, \cap representa intersecção, mbr representa o mínimo retângulo envolvente (MBR, *Minimum Bounding Rectangle*) do conjunto de objetos atribuídos ao servidor, e $area$ é uma função que calcula a área da intersecção entre dois servidores i e j .

$$\eta = \sum_{i=1}^{s-1} \sum_{j=i+1}^s area(mbr_i \cap mbr_j) \quad (1)$$

O desvio padrão da população de quantidades de objetos em cada servidor também foi mensurado, ou seja, calculou-se o desvio padrão, σ , do conjunto $\{q(i) | 1 \leq i \leq s\}$, onde q calcula a quantidade de objetos no servidor i . Um desvio padrão alto indica que pode haver uma execução desbalanceada ou, se o escalonador de consultas conseguir balancear a execução, que será necessário copiar dados de outros servidores.

A Figura 1 apresenta o resultado do experimento para sobreposição de espaço entre os servidores (η). Em (a) tem-se a sobreposição para 4, em (b) para 8 e em (c) para 16 servidores. Há um padrão nos gráficos indicando que a sobreposição decresce na seguinte ordem de métodos: $RR > PA\ 0.1 > PA\ 0.5 > PA\ 0.9 > GL$, com exceção da base C em (a) e da base U em (b), onde os métodos PA 0.5 e PA 0.9 aparecem invertidos. Naturalmente, por não considerar colocação, o método RR apresenta a maior sobreposição. Em todos os cenários, o método GL se mostrou muito superior aos demais em relação à sobreposição, o que pode ser observado pelo pequeno tamanho da respectiva barra no gráfico.

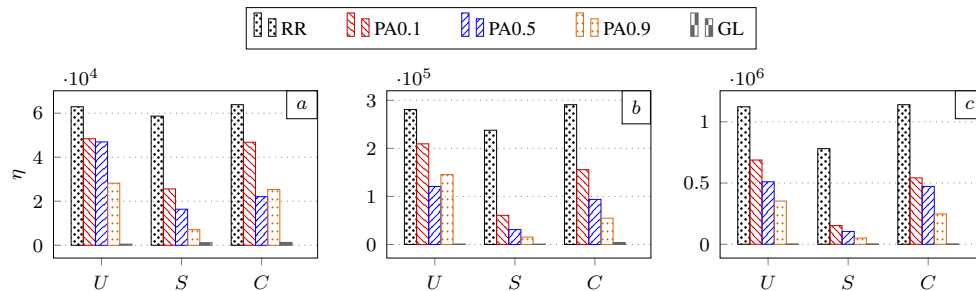


Figura 1. Sobreposição espacial entre os MBRs dos servidores. (a) mostra a sobreposição para 4 servidores, (b) para 8 servidores e (c) para 16 servidores.

A Figura 2 apresenta o desvio padrão, σ , da população de quantidades de objetos em cada servidor. O contrário acontece em relação à sobreposição para os métodos RR e PA, ou seja, o menor desvio ocorre para o método RR e é maior para PA 0.1, seguido de PA 0.5 e PA 0.9. O desvio padrão do método GL se mantém próximo de PA 0.5, com um pior cenário para o tamanho de *cluster* igual a 16. Como há uma boa margem para a sobreposição, apresentada anteriormente, acreditamos que é possível diminuir este valor se a quantidade mínima de itens por nó for aumentada no algoritmo original (o qual permite nós 60% não preenchidos). Testes futuros serão realizados com este cenário.

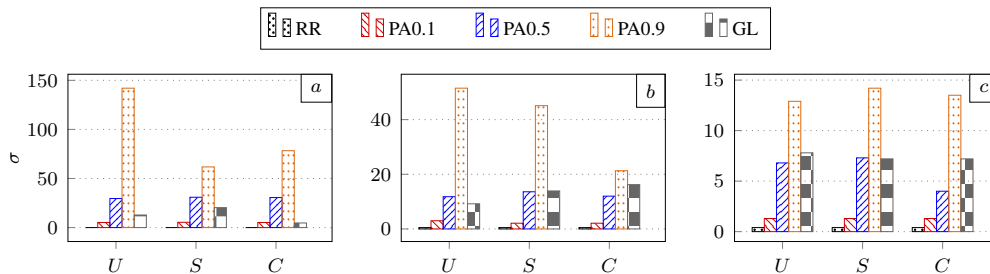


Figura 2. Desvio da população de quantidade de objetos em cada servidor conforme o método de distribuição. (a) mostra o desvio para 4 servidores, (b) para 8 servidores e (c) para 16 servidores.

5. Conclusão

Neste artigo propusemos um novo método de distribuição de dados espaciais chamado *Gain-Loss*, baseado nos algoritmos da árvore R^0 e o comparamos com outros dois métodos de distribuição de dados espaciais. O método proposto apresentou uma sobreposição de área entre servidores menor que os demais métodos em todos os cenários testados. Comparamos também o desvio padrão da quantidade de objetos por servidor. Nesta métrica, o novo método também se apresenta competitivo, ficando próximo do desvio padrão do método PA com $k = 0.5$. Devido a grande margem no quesito sobreposição, acreditamos que podemos melhorar ainda mais o método, aumentando o limite mínimo de preenchimento dos nós do algoritmo, o que pode resultar numa execução mais eficiente de consultas distribuídas.

Na continuação da pesquisa iremos concluir a implementação do método adaptando os algoritmos originais da R^0 para o propósito de distribuição de dados e realizaremos outros experimentos com bases de dados reais. Também analisaremos o comportamento fim-a-fim, ou seja, mensurando o impacto da distribuição de dados no tempo de execução da consulta e no uso da rede.

Referências

- de Oliveira, T. B. (2017). *Efficient Processing of Multiway Spatial Join Queries in Distributed Systems*. PhD thesis, Instituto de Informática, Universidade Federal de Goiás, Goiânia, GO, Brasil.
- de Oliveira, T. B., Costa, F. M., and Rodrigues, V. J. S. (2017). Distributed Execution Plans for Multiway Spatial Join Queries using Multidimensional Histograms. *Journal of Information and Data Management*, 7(3):199–214.
- Guttman, A. (1984). R-trees: A Dynamic Index Structure for Spatial Searching. *SIGMOD Record*, 14(2):47–57.
- Mamoulis, N. and Papadias, D. (2001). Multiway spatial joins. *ACM Transactions on Database Systems (TODS)*, 26(4):424–475.
- Oliveira, S. S. T. d., Rodrigues, V. J. d. S., Cunha, A. R., Aleixo, E. L., de Oliveira, T. B., Cardoso, M. d. C., and Junior, R. R. (2013). Processamento Distribuído de Operações de Junção Espacial com Bases de Dados Dinâmicas para Análise de Informações Geográficas. In *Proc. of the XXXI SBRC*, pages 1009–1022.
- Patel, J. M. and DeWitt, D. J. (2000). Clone join and shadow join: two parallel spatial join algorithms. In *Proceedings of the 8th ACM international symposium on Advances in geographic information systems*, pages 54–61. ACM.
- Ramirez, M. R. and de Souza, J. M. (2001). Processamento distribuído da junção espacial. In *Anais do III Simpósio Brasileiro de Geoinformática*, pages 1–8, Rio de Janeiro, RJ.
- Xia, T. and Zhang, D. (2005). Improving the R^* -tree with Outlier Handling Techniques. In *Proceedings of the ACM International Symposium on Advances in Geographic Information Systems*, pages 125–134, Bremen, Germany.
- Zipf, G. K. (1949). Human behavior and the principle of least effort. *Addison Wesley, Reading*.